

تأثیر و شکسانی تراکمی بر وجود نوسانات آرام حلقه‌های غیرهمگن تاج خورشید

طیبه بحرینی نژاد و عباس عابدینی

گروه فیزیک دانشگاه قم، قم

پست الکترونیکی: a.abedini@qom.ac.ir

(دریافت مقاله: ۱۳۹۲/۱۲/۱۹؛ دریافت نسخه نهایی: ۱۳۹۳/۲/۱۲)

چکیده

در این مقاله، تأثیر و شکسانی تراکمی بر وجود نوسانات آرام حلقه‌های تاج یک پلاسمای با بتای کم، میدان مغناطیسی یکنواخت، دارای لایه‌بندی گرانشی و گرادیان دما در نظر گرفته می‌شود. معادلات مغناطوهیدرودینامیکی در دو بعد حول وضعیت تعادلی مختلف و خطی‌سازی شده و در نهایت با استفاده از روش کش دادن به یک معادله دیفرانسیل مرتبه دوم بر حسب سرعت اختلالی ساده می‌گردد. معادله دیفرانسیلی با در نظر گرفتن شرایط مرزی مناسب به صورت تحلیلی و عددی حل شده و وجود نوسانی به دست آمده از حل معادله دیفرانسیل با داده‌های واقعی حاصل از ماهواره‌هایی همچون سوهو(SOHO)، تریس(TRACE) و اس دی او (SDO) مقایسه، تجزیه و تحلیل می‌شوند. نتایج حاصل نشان می‌دهد که در حضور لایه‌بندی گرانشی، نوسانات حلقه تاج به ازای مقادیر فرکانسی بزرگتر از فرکانس قطع انفاق می‌افتد. و شکسانی نیز در طول‌های کوچک میرایی قوی $Q \leq 2$ ایجاد کرده و از آنجایی که مشاهدات، میرایی قوی نوسانات تاج را تأیید می‌کند، می‌توان گفت و شکسانی به تنهایی قادر به توجیه میرایی نوسانات حلقه‌های کوتاه تاج است. بازه دوره نوسانات به دست آمده بین ۲ تا ۴۸ دقیقه است که با نتایج مشاهداتی همخوانی دارد.

واژه‌های کلیدی: تاج خورشید، حلقه‌های تاج خورشید، نوسانات آرام، و شکسانی تراکمی، دوره نوسانات و زمان میرایی

۱. مقدمه

ترتیب ۱-۳۲ دقیقه و ۱-۴۲ دقیقه می‌باشد [۳]. امروزه نظریه نوسانات لوله پلاسمای غوطه‌ور در میدان مغناطیسی و میرایی آنها در مدل‌های مختلفی تحت تأثیر لایه‌بندی گرانشی، دما، میدان مغناطیسی و عوامل اتلاف انرژی روی نوسانات حلقه‌های تاج مورد تحقیق قرار گرفته است. برای مثال، مک اوان و همکاران در سال ۲۰۰۶ با استفاده از یک لوله شار با سطح مقطع ثابت در میدان مغناطیسی یکنواخت در حضور لایه‌بندی چگالی ناشی از گرانش و در دمای متغیر با استفاده از خطی‌سازی معادلات

در سال‌های اخیر با افزایش توان تغذیک تلسکوپ‌های فضایی مانند تریس^۱، سوهو^۲، هینوده، اس دی او^۳... امواج ایستاده آرام در حلقه‌های تاج توسط افراد مختلفی گزارش شده‌اند (مراجعةه شود به [۲-۱]). دوره و زمان میرایی این امواج در تاج داغ به

۱. SOHO

۲. TRACE

۳. SDD

نسبت فرکانس به میرایی افزایش می‌یابد. همچنین نسبت دوره تنارب وجه پایه به اولین وجه برانگیخته امواج سطحی کینکی و شیاری در حضور پیچش مغناطیسی کمتر از دو به دست می‌آید که این موضوع با مشاهدات همخوانی دارد [۹]. عابدینی و همکاران در سال ۲۰۱۲ نوسانات حلقه‌های تاج داغ با لایه‌بندی گرانشی را در حضور رسانش گرمایی، وشکسانی و تابش مورد مطالعه قرار دادند و نتیجه گرفتند که در حلقه‌های طویل رسانش عامل اصلی میرایی است ولی در حلقه‌های کوتاه وشکسانی به تنها یی می‌تواند میرایی قوی نوسانات تاج را توجیه کند [۵]. نتایج حاصل از داده‌های سومر یک میرایی قوی $P_d \cong 1/P \tau_d$ در تاج داغ را نشان می‌دهد (برای مثال مراجعه شود به [۱۱-۱۴]). در این مقاله تاج خورشید را یک محیط کاملاً یونیزه شده با انحنای کم و در یک میدان مغناطیسی یکنواخت در نظر می‌گیریم، که دما در آن به طور غیر خطی از رأس به پایه حلقه کاهش می‌یابد. یک مدل شامل وشکسانی، لایه‌بندی چگالی ناشی از گرانش، غیرهمدم و با میدان مغناطیسی یکنواخت در نظر گرفته می‌شود. اختلال و خطی سازی معادلات مغناطوهیدرودینامیکی به یک معادله دیفرانسیل درجه دوم بر حسب سرعت می‌انجامد. این معادله با در نظر گرفتن شرایط مرزی مناسب برای حالت‌های مختلف حل و نتایج آن مورد بررسی قرار خواهد گرفت.

۲. مدل و معادلات

در اینجا فرض می‌شود حلقة تاج به صورت شبه نیم دایره و متقارن باشد. شدت جاذبه گرانشی یکنواخت و مستقل از ارتفاع و در دو نیمة تاج در جهت‌های مختلف هستند. شتاب گرانشی مؤثر در امتداد این حلقه به صورت $\hat{z} = g_0 \sin\left(\frac{\pi z}{2L}\right)$ در نظر گرفته شده است، که در اینجا $2L$ طول حلقه و g_0 شتاب گرانشی در سطح خورشید است، که مقدار آن برابر 275 ms^{-2} است. همچنین فرض می‌کنیم دما از رأس حلقه تا پای آن به صورت معادله زیر تغییر کند

$$\lambda = \frac{T_{\text{apex}}}{T_{\text{base}}}, \quad (1)$$

$$T(z) = T_{\text{apex}} \left[\frac{1}{\lambda} + (1 - \frac{1}{\lambda}) \cos\left(\frac{\pi z}{2L}\right) \right]$$

مغناطوهیدرودینامیکی به معادله کلاین - گوردن برای امواج ایستاده رسیدند. با اعمال شرایط مرزی مناسب دریافتند که لایه‌بندی طولی اثر قابل ملاحظه‌ای نسبت به لایه‌بندی شعاعی روی دوره‌های نوسانی و نسبت دوره‌های $P_1/2P_2$ و جوهر نوسانی آرام دارد.

گرمایش و اتلاف انرژی از طریق رسانش گرمایی، وشکسانی تراکمی و تابش همچنین لایه‌بندی گرانشی و جذب تشدیدی بر دوره‌ها و زمان میرایی نوسانات آرام و سریع تأثیر می‌گذارد. افراد مختلفی نوسانات حلقه‌های تاج و تأثیر این عوامل اتلافی را بر دوره نوسانی بررسی کردند. برای نمونه آفمن و وانگ در سال ۲۰۰۲ با حل عددی معادلات خطی شده مغناطوهیدرودینامیکی دریافتند که رسانش گرمایی مهم‌ترین عامل میرایی امواج ایستاده در حلقه‌های تاج هم‌دمای است [۴]. در سال ۲۰۰۲ دیمورتل و هود اثر هر دو کمیت رسانش و وشکسانی را بر نوسانات امواج رونده و ایستاده در حلقه‌های تاج هم‌دمای مورد مطالعه قرار دادند. آنها در حضور رسانش گرمایی یک زمان میرایی کمینه پیدا کردند، ولی به این نتیجه رسیدند که برای توجیه میرایی قوی باید وشکسانی نیز به مدل اضافه شود [۵]. در سال ۲۰۰۶ رابرتس نشان داد اثر لایه‌بندی گرانشی روی دوره‌های نوسانی کوچک است [۶] و پندی و دیودی در سال ۲۰۰۶ نشان دادند که رسانش گرمایی و وشکسانی به تنها یی نمی‌توانند میرایی نوسانات را توجیه کنند و فقط با حضور هر دو عامل، نتایج به دست آمده با مشاهدات وفق پیدا می‌کند [۱۴]. کرمی و همکاران در سال ۲۰۰۷ نوسانات و میرایی امواج مغناطوهیدرودینامیک در حلقه‌های تاج را در حضور لایه‌بندی طولی چگالی مورد مطالعه قرار دادند. آنها با در نظر گرفتن حلقة تاج به مانند یک لوله شار استوانه‌ای بدون فشار و مستقیم با یک میدان مغناطیسی زمینه ثابت، نتیجه گرفتند که با افزایش پارامتر لایه‌بندی، فرکانس‌ها و آهنگ‌های اتلاف حالت پایه و اولین حالت برانگیخته مدهای تابداری و شیاری افزایش می‌یابد [۸]. همچنین در سال ۲۰۱۱ جذب تشدید امواج مغناطوهیدرودینامیک را در لوله‌های شار مغناطیسی در حضور پیچش مغناطیسی و لایه‌بندی چگالی، مورد بررسی قرار دادند. و دریافتند که با افزایش پیچش مغناطیسی، فرکانس‌ها، میرایی و

$$f_r = \frac{\partial}{\partial r} [2\eta \frac{\partial(rv_r)}{r\partial r} - \frac{2}{3}\eta \nabla \cdot v], f_z = \frac{\partial}{\partial z} [2\eta \frac{\partial v_z}{\partial z} - \frac{2}{3}\eta \nabla \cdot v] \quad (9)$$

با فرض اینکه وابستگی زمانی جملات اختلالی به صورت $f_1(x,t) = f_1(x)e^{i\omega t}$ باشد، از ترکیب معادلات مغناطوهیدرو دینامیکی اختلالی خطی شده، دو معادله دیفرانسیل جفت شده زیر حاصل می‌شود:

$$[-\frac{\partial^2}{\partial t^2} + c_A^2 \frac{\partial^2}{\partial z^2}]v_r + (c_f^2 + \frac{4\eta}{3\rho_0}i\omega) \frac{\partial}{\partial r} (\frac{\partial}{r\partial r}(rv_r)) \quad (10)$$

$$[(c_s^2 - \frac{2\eta}{3\rho_0}i\omega) \frac{\partial}{\partial z} + g] \frac{\partial v_z}{\partial r} = 0,$$

$$[-\frac{\partial^2}{\partial t^2} + g' + (\gamma g + \frac{4\eta'}{3\rho_0}i\omega) \frac{\partial}{\partial z} + (c_s^2 + \frac{4\eta}{3\rho_0}i\omega) \frac{\partial^2}{\partial z^2}]v_z \quad (11)$$

$$+[(\gamma - 1)g - \frac{2\eta'}{3\rho_0}i\omega + (c_s^2 - \frac{2\eta}{3\rho_0}i\omega) \frac{\partial}{\partial z}] \frac{\partial}{\partial r} (rv_r) = 0$$

در اینجا علامت پریم نماینده مشتق نسبت به z می‌باشد.
به منظور جداسازی معادلات جفت شده با تغییر مختصاتی به صورت زیر، فوق از روش کش دادن^۱ استفاده می‌شود:

$$r = \varepsilon R, z = Z, t = t, v_r = \varepsilon u_r, v_z = u_z \quad (12)$$

$$\frac{\partial}{\partial r} = \frac{1}{\varepsilon} \frac{\partial}{\partial R}, \frac{\partial^2}{\partial r^2} = \frac{1}{\varepsilon^2} \frac{\partial^2}{\partial R^2}$$

با اعمال تغییر مختصات فوق به ازای $\varepsilon = 1$ و ترکیب دو معادله (10) و (11)، یک معادله دیفرانسیل خطی مرتبه دوم از سرعت اختلالی با ضرایب متغیر به صورت زیر به دست می‌آید:

$$\frac{\partial^2 v_z}{\partial t^2} + A_1 \frac{\partial^2 v_z}{\partial z^2} + B_1 \frac{\partial v_z}{\partial z} + C_1 v_z = 0 \quad (13)$$

در معادله فوق ضرایب برابر است با:

$$A_1 = -c_s^2 - \frac{4\eta}{3\rho_0}i\omega + \frac{(c_s^2 - \frac{2\eta}{3\rho_0}i\omega)^2}{(c_f^2 + \frac{4\eta}{3\rho_0}i\omega)},$$

$$B_1 = -(\gamma g + \frac{4\eta'}{3\rho_0}i\omega)(1 + \frac{(c_s^2 - \frac{2\eta}{3\rho_0}i\omega)^2}{(c_f^2 + \frac{4\eta}{3\rho_0}i\omega)^2})$$

$$+ [2\gamma g - \frac{4\eta'}{3\rho_0}i\omega] \frac{(c_s^2 - \frac{2\eta}{3\rho_0}i\omega)}{(c_f^2 + \frac{4\eta}{3\rho_0}i\omega)},$$

^۱. stretching

در اینجا T_{apex} و T_{base} به ترتیب دما در رأس و پای یک حلقة تاج خورشیدی است. به ازای $\lambda = 1$ شرایط دمای ثابت و به ازای مقادیر $\lambda \neq 1$ شرایط دمای متغیر در یک حلقة تاج خورشیدی به وجود می‌آید.

بعد از تصویر کردن گرانش در امتداد حلقه‌ها و با صرف نظر کردن از انحنای حلقه، یک محور مختصات استوانه‌ای $B = (0, 0, B_0)$ در امتداد آن قرار دارد. با فرض $(v_r, 0, v_z) = V$ و $\frac{\partial}{\partial \theta} = 0$ معادلات مغناطوهیدرو دینامیکی در حضور نیروی گرانش و وشکسانی به صورت زیر است:

$$\frac{\partial \rho}{\partial t} + \nabla \cdot (\rho V) = 0, \quad (2)$$

$$\rho \left(\frac{\partial V}{\partial t} + V \cdot \nabla V \right) = -\nabla p + \frac{1}{\mu} (\nabla \times B) \times B + \rho g(z) + F_\eta, \quad (3)$$

$$\frac{\rho^\gamma}{\gamma - 1} \frac{D}{Dt} \left(\frac{p}{\rho^\gamma} \right) = E_H - E_\eta, \quad (4)$$

$$p = \frac{k_B}{\bar{m}} \rho T, \quad (5)$$

$$j = \frac{1}{\mu} (\nabla \times B), \quad (6)$$

$$\frac{\partial B}{\partial t} = \nabla \times (v \times B), \quad (7)$$

$$\nabla \cdot B = 0. \quad (8)$$

در اینجا T دما بر حسب کلوین، k_B ثابت بولتزمن، γ نسبت گرمایه ویژه و \bar{m} جرم متوسط ذرات تاج است. مقدار \bar{m} و γ برای پلاسمای تاج کاملاً یونیزه شده به ترتیب حدود $\frac{5}{3}$ و $0/6 m_p$ به دست می‌آید.

$$c_f^2 = c_s^2 + c_A^2, c_A^2 = \frac{B_0^2}{\mu \rho_0}, c_s^2 = \left(\frac{\gamma p_0}{\rho_0} \right)^{\frac{1}{2}}$$

صوت، سرعت آفون و سرعت سریع، E_η آهنگ اتلاف انرژی در واحد حجم به صورت

$$E_\eta = \frac{4\eta}{3} \left(\frac{\partial v_r}{\partial r} \right)^2 + \frac{4\eta}{3r^2} v_r^2 + \frac{4\eta}{3} \left(\frac{\partial v_z}{\partial z} \right)^2 + \frac{2\eta}{3} \left(\frac{\partial v_z}{\partial r} + \frac{\partial v_r}{\partial z} \right)^2$$

و η ضریب وشکسانی به صورت $\eta = 10^{-17} T^{\frac{5}{2}} (\text{kg m}^{-1} \text{s}^{-1})$ تابعی از دما می‌باشد. F_η نیروی وشکسانی در واحد حجم است که مؤلفه‌های آن در مختصات استوانه‌ای به صورت زیر

در نظر گرفته شده است

فرکانس قطع Ω می‌باشد. همچنین در غیاب گرانش ارتفاع مقیاس به سمت بی‌نهایت و فرکانس قطع صفر می‌شود در نتیجه معادله کلاین-گوردن به معادله آشنایی موج تبدیل می‌شود.

در بخش بعدی معادله (۱۴) به صورت تحلیلی و عددی با اعمال شرایط مرزی زیر

$$v_z = C \cos(kz), v_z(\pm L) = 0, v'_z(0) = 0 \quad (۱۹)$$

$$v_z = D \sin(kz), v_z(\pm L) = 0, v_z(0) = 0 \quad (۲۰)$$

برای وجود نوسانی زوج و فرد برای حالات مختلف حل کرده و نمودارهای مربوطه رسم می‌کنیم و نتایج حاصله را مورد مطالعه قرار می‌دهیم.

۳. دوره نوسانات حلقه‌های شار

۳.۱. تأثیر لایه‌بندی گرانشی بر نوسانات حلقه‌های شار
فرض می‌کنیم پلاسمما ابتدا در حالت تعادل هیدرواستاتیکی باشد. بنابراین شرط تعادلی بودن پلاسمما در حضور یک میدان مغناطیسی یکنواخت به روابط زیر می‌انجامد

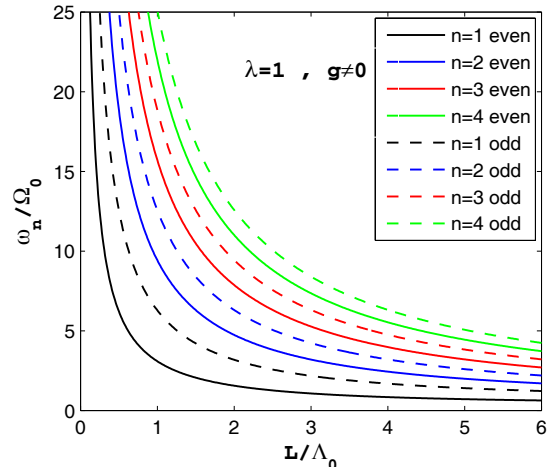
$$p_0(z) = p_0(0) \exp(n(z)), \rho_0(z) = \rho_0(0) \frac{\Lambda_0(0)}{\Lambda_0(z)} \exp(n(z)), \quad (۲۱)$$

$$n(z) = \int_0^z \frac{\sin(\frac{\pi z}{2L})}{\Lambda_0(z)}, \quad \Lambda_0(z) = \frac{p_0(z)}{g \rho_0(z)}, \quad (۲۲)$$

که در آن p_0 و ρ_0 به ترتیب فشار و چگالی تعادلی پلاسمما و Λ_0 ارتفاع مقیاس فشار است که مقدار آن برای تاج L به دست می‌آید [۱۵].

در شکل ۱ جواب‌های وجود نوسانی بی بعد شده Ω_0 / ω_n بر حسب طول بی بعد شده L / Λ_0 یک حلقة هم‌دما ($\lambda = 1$) به ازای $T_{\text{apex}} = 6 \times 10^6 K, \Lambda_0 = 50 \times 10^6 m, \Omega_0 = 1.4 \times 10^{-3} \text{ rads}^{-1}$ رسم شده است. همان طوری که از شکل ۱ دیده می‌شود فرکانس همه وجود نوسانی زوج و فرد به ازای $L / \Lambda_0 \rightarrow \infty$ به فرکانس قطع آکوستیک Ω_0 میل می‌کند.

در غیاب گرانش با فرض حلقة تاج هم‌دما، شکل معادله کلاین-گوردن به معادله آشنایی موج تبدیل می‌شود. بدین ترتیب اگر وابستگی زمانی به صورت $Q(z, t) = Q \exp(i\omega t)$ فرض شود، فرکانس وجود نوسانی زوج و فرد به صورت زیر به دست می‌آید.



شکل ۱. (رنگی در نسخه الکترونیکی) نمودار پاشندگی وجود نوسانی امواج ایستاده آکوستیک در یک حلقة هم‌دما در حضور لایه‌بندی گرانشی به ازای $T_{\text{apex}} = 6 \times 10^6 K, \Lambda_0 = 50 \times 10^6 m, \Omega_0 = 1.4 \times 10^{-3} \text{ rads}^{-1}$

$$\begin{aligned} C_1 = -g' + \frac{1}{(c_f^2 + \frac{4\eta}{3\rho_0} i\omega)} & \left[-\frac{2}{3\rho_0} \eta' i\omega g + (\gamma - 1) g^2 \right. \\ & + (c_s^2 - \frac{2\eta}{3\rho_0} i\omega) (g' + \frac{\rho_0'}{\rho_0} g) - (\gamma g + \frac{4}{3\rho_0} \eta' i\omega) \\ & \left. \times g \frac{(c_s^2 - \frac{2\eta}{3\rho_0} i\omega)}{(c_f^2 + \frac{4\eta}{3\rho_0} i\omega)} \right]. \end{aligned}$$

معادله (۱۳) با تبدیلی به صورت $v_z(z, t) = f(z)Q(z, t)$ به شکل معمولی معادله دیفرانسیل خطی مرتبه دوم به صورت زیر در می‌آید

$$v_z(z, t) = f(z)Q(z, t) \quad (۱۴)$$

در اینجا c_T سرعت حلقة و $k(z, \omega)$ از روابط زیر به دست می‌آیند: $c_T^{-2} = c_A^{-2} + c_s^{-2}$,

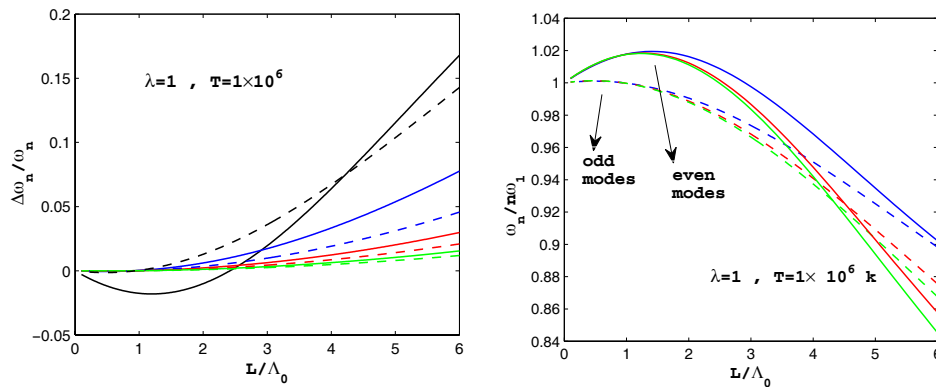
$$K(z, \omega) = -\frac{B_1^2}{4A_1} - \frac{B_1'}{2} + \frac{A_1'B_1}{2A_1} + C_1, \quad (۱۶)$$

که ضرایب C_1, B_1, A_1 همان ضرایب معادله (۱۳) می‌باشد. در غیاب وشکسانی و اعمال شرط کوچک بودن پارامتر بتا $\beta \ll 1$ معادله (۱۴) به صورت زیر در می‌آید:

$$\frac{\partial^2 v_z}{\partial t^2} - c_s^2 \frac{\partial^2 v_z}{\partial z^2} + \Omega^2 v_z = 0, \quad (۱۷)$$

$$\Omega^2 = \frac{c_s^2}{4\Lambda_0^2} (1 - 2\Lambda_0' \csc(\frac{\pi z}{2L})) \sin^2(\frac{\pi z}{2L}) + (\frac{\gamma}{2} - 1) g'. \quad (۱۸)$$

معادله بالا به شکل صورت آشنای معادله کلاین-گوردن با



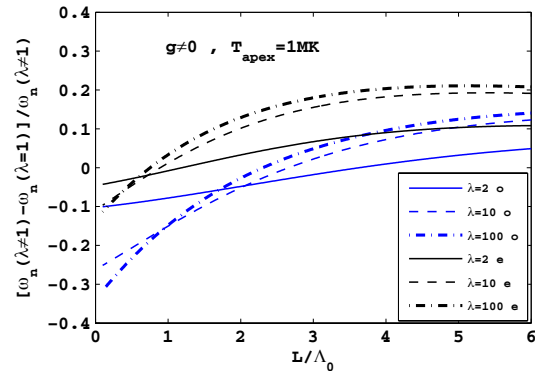
شکل ۲. (رنگی در نسخه الکترونیکی) نمودار تغییرات نسبی فرکانس وجود نوسانی $(\omega_n(g \neq 0) - \omega_n(g = 0)) / \omega_n(g \neq 0)$ (شکل سمت راست) و نسبت فرکانس n ام به فرکانس پایه (شکل سمت چپ) بر حسب L / Λ_0 در یک حلقة همدما.

یکی از راه‌های تشخیص غیر همگن بودن محیط انتشار موج، محاسبه $\omega_n / n\omega_1$ است. میزان انحراف این عبارت از یک، نشان دهنده میزان غیر همگن بودن محیط توسط عواملی همچون لایه‌بندی گرانشی، غیر هدمدا بودن، غیر یکنواخت بودن سطح مقطع حلقه‌ها و ... می‌باشد. مطابق شکل ۲ (سمت چپ)، با افزایش طول حلقة، میزان انحراف نسبت فرکانس‌ها به فرکانس پایه، در وجود نوسانی بالاتر از مقدار یک بیشتر خواهد بود.

۲.۳. تأثیر غیر همگنی دما بر نوسانات حلقه‌های شار

برای پی بردن به تأثیر غیر همگنی دما روی دوره‌های نوسانی، فرض می‌کنیم دما از رأس به پایه به صورت معادله (۱) کاهش یابد. معادله (۱۷) برای یک حلقة غیر هدمدا در حضور گرانش حل عددی شده و نمودار تغییرات نسبی فرکانس (نسبت به تغییر λ) برای مد پایه در شکل ۳ رسم شده است. همان طوری که از شکل دیده می‌شود با افزایش L / Λ_0 تغییرات نسبی فرکانس افزایش یافته است به طوری که بیشترین تغییرات در $\lambda = 100$ و حدود $+20^\circ$ و -30° درصد است. وجود زوج نیز تغییرات بیشتری نسبت به وجود فرد دارد.

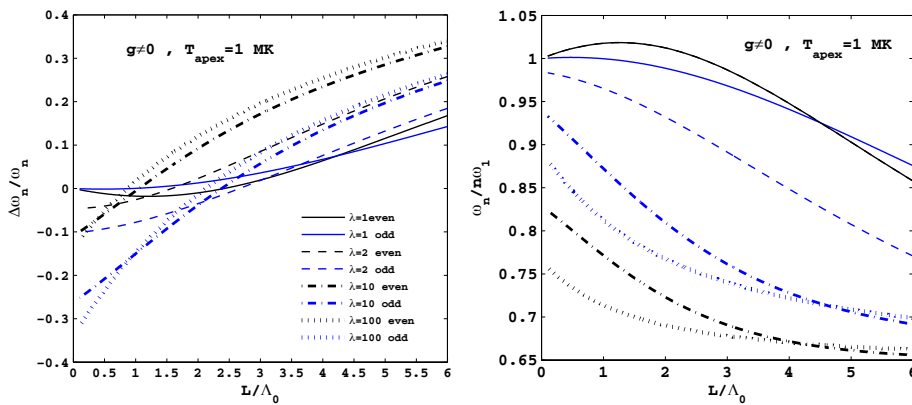
در شکل ۴ نمودار تغییرات نسبی فرکانس وجود نوسانی را برای مد پایه و تغییرات فرکانس n ام را نسبت به فرکانس وجه اول برای مد سوم بر حسب L / Λ_0 (نسبت به حالتی که گرانش وجود ندارد) برای λ ‌های مختلف $1, 2, 10, 100$ نشان می‌دهد.



شکل ۳. (رنگی در نسخه الکترونیکی) نمودار $(\omega_n(\lambda \neq 0) - \omega_n(\lambda = 1)) / \omega_n(\lambda = 1)$ بر حسب L / Λ_0 .

$$\omega_{2n} = n \frac{\pi c_s}{L}, \omega_{2n-1} = (2n-1) \frac{\pi c_s}{2L}, n = 1, 2, \dots \quad (23)$$

به منظور پی بردن به تأثیر لایه‌بندی گرانشی روی نوسانات، وجود نوسانی به دست آمده از حل عددی معادله (۱۷) با وجود نوسانی متناظر در معادله (۲۳) مقایسه شده است. در شکل ۲ (سمت راست) نمودار تغییرات نسبی فرکانس‌ها در حضور گرانش نسبت به حالتی که گرانش وجود ندارد بر حسب L / Λ_0 رسم شده است. همان طوری که از شکل دیده می‌شود تغییرات نسبی فرکانس در مدهای پایین‌تر محسوس‌تر و با افزایش طول، بیشتر می‌شود، به طوری که حداقل تغییرات در اولین وجه نوسانی (زوج) اتفاق می‌افتد. بنابراین می‌توان گفت حداقل تغییرات نسبی فرکانس در وجود نوسانی ناشی از حضور لایه‌بندی گرانشی حدود 20° درصد است.



شکل ۴. (رنگی در نسخه الکترونیکی) نمودار $\frac{\omega_n}{n\omega_1}$ بر حسب L/λ_0

$$\omega_{2n-1} = k_{2n-1} \left(1 - \frac{4\xi^2 k_{2n-1}^2}{9}\right)^{1/2} + i \frac{2\xi}{3} k_{2n-1}^2 \quad (26)$$

به ازای مقادیر $\xi > \frac{3k_{2n-1}}{2}$ برای وجود نوسانی زوج و فرد، عبارت زیر را دیگر منفی شده و فرکанс نوسانی عددی موهومی می‌شود.

در حالت کلی ضرایب معادله دیفرانسیل (۱۴) ثابت نیست لذا این معادله باید به صورت عددی حل شود. نتیجه حل عددی معادله (۱۴) در شکل ۵ نشان داده شده است. همان طوری که از شکل دیده می‌شود با کاهش L/λ_0 فرکانس افزایش یافته، به یک مقدار بیشینه می‌رسد و بعد از آن با شیب تندی کاهش یافته و نوسانات از بین می‌رود.

با مقایسه شکل ۵ با شکل ۱ نتیجه می‌شود و شکسانی تغییر چندانی در فرکانس حلقه‌های طویل ایجاد نمی‌کند ولی حضور و شکسانی در معادلات مغناطوهیدرودینامیکی به عنوان یک عامل میرایی، یک فرکانس قطع در نوسانات حلقه تاج ایجاد می‌کند، به طوری که به ازای یک نیم طول (بی بعد شده) مشخص، فرکانس نوسانات به طور ناگهانی به صفر می‌رسد. این فرکانس قطع در وجود نوسانی بالاتر بیشتر است. یعنی حلقه‌هایی که در آنها امواج ایستاده با وجود بالاتر وجود دارد به سرعت میرا می‌شوند. در حضور دمای متغیر فرکانس قطع نسبت به حالت هم‌دما به طور محسوس کمتر است و فرکانس نوسانات در مقایسه با حالت هم‌دما در L/λ_0 کوچک به مراتب افزایش یافته است.

مطابق شکل با افزایش λ و افزایش طول، تغییرات نسبی فرکانس نسبت به حالت هم‌دما افزایش یافته و بیشینه و کمینه تغییرات نسبی فرکانس در $\lambda = 100$ و حدود ± 35 درصد است. با افزایش λ و افزایش طول تغییرات $\omega_n / n\omega_1$ نسبت به حالت هم‌دما کاهش یافته است. میزان انحراف از یک (نشان دهنده میزان غیر همگنی محیط انتشار موج) با افزایش λ ، افزایش یافته و در طول‌های طویل‌تر محسوس‌تر است.

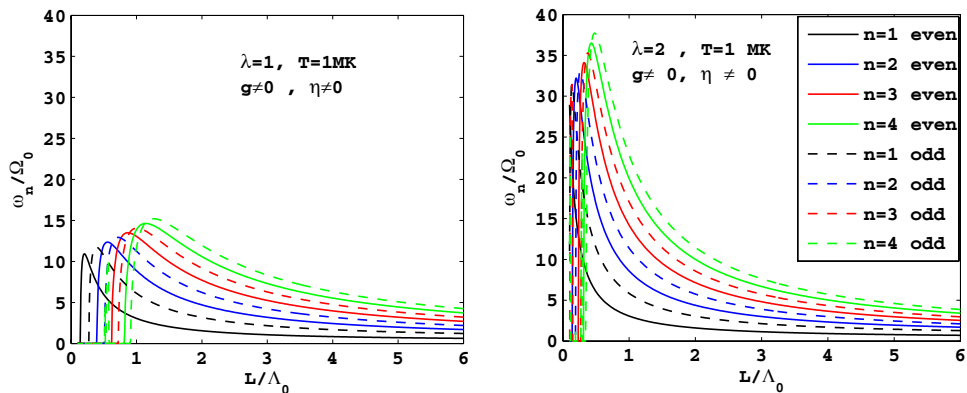
۳. تأثیر و شکسانی بر نوسانات حلقه‌های شار

شکل کلی معادله سرعت اختلالی در حضور لایه‌بندی گرانشی، گرادیان دما و و شکسانی تراکمی به صورت معادله (۱۴) است. برای یک حلقه هم‌دما در غیاب گرانش، معادله (۱۴) به یک معادله دیفرانسیل مرتبه دوم با ضرایب ثابت تبدیل می‌شود. با در نظر گرفتن جواب‌های معادله دیفرانسیل به شکل $\eta = v_0 \exp(i\omega t - kz)$ و اعمال شرایط مقدار کوچک بتا از معادله (۱۳) به رابطه پاشندگی زیر می‌رسیم [۱۶].

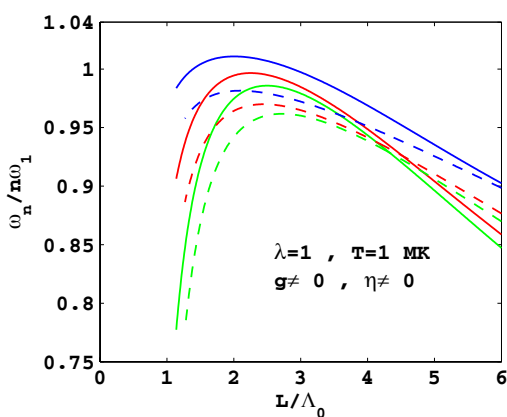
$$\omega^2 - i \frac{4}{3} \xi k^2 \omega - k^2 = 0 \quad (24)$$

با اعمال شرایط مرزی مناسب (معادلات (۱۹) و (۲۰)) در معادله فوق، فرکانس وجود نوسانی زوج و فرد به صورت زیر به دست می‌آید:

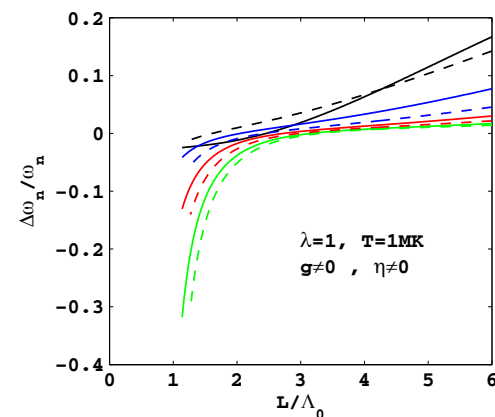
$$\omega_n = k_{2n} \left(1 - \frac{4\xi^2 k_{2n}^2}{9}\right)^{1/2} + i \frac{2\xi}{3} k_{2n}^2 \quad (25)$$



شکل ۵. (رنگی در نسخه الکترونیکی) نمودار پاشندگی وجود نوسانی امواج ایستاده آکوستیک در یک حلقة تاج در حضور و شکسانی؛ نمودار سمت راست و چپ به ترتیب مربوط به یک حلقة غیر همدما و همدما تاج می باشد.



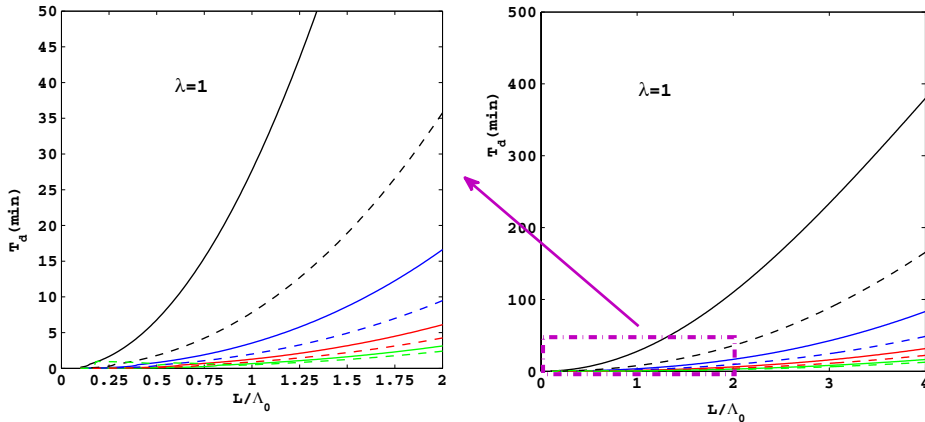
شکل ۷. (رنگی در نسخه الکترونیکی) نمودار تغییرات نسبت فرکانس n به فرکانس پایه بر حسب L/Λ_0 در یک حلقة همدما در حضور و شکسانی.



شکل ۶. (رنگی در نسخه الکترونیکی) نمودار تغییرات نسبی فرکانس $\omega_n(\eta \neq 0, g \neq 0) / \omega_n(\eta = 0, g = 0)$ بر حسب L/Λ_0 در یک حلقة همدما در حضور و شکسانی.

روند آرامتری نسبت به وجود نوسانی زوج دارد. در مدهای پایین‌تر میزان انحراف محسوس‌تر و با افزایش طول، بیشتر می‌شود، به طوری که حداقل انحراف از مقدار مجانی در اولین وجه نوسانی (زوج و حدود ۲۰ درصد برای حلقة همدما و حدود ۳۰ درصد برای حلقة غیر همدما) اتفاق می‌افتد. در شکل ۷ نمودار $\omega_n / n\omega_1$ بر حسب L/Λ_0 در حضور و شکسانی و گرانش رسم شده است. در حالتی که فقط گرانش حضور دارد، این نسبت همیشه حوالی ۱ است، ولی در اینجا در حلقة‌های کوتاه خیلی از یک فاصله می‌گیرد، یعنی محیط غیر همگن شده است. در حلقة‌های طویل نیز و شکسانی تغییر

می‌توان از شکل ۵ دریافت در حضور و شکسانی دوره نوسانات حلقة تاج در محدوده ۲ تا ۴۷ دقیقه تغییر می‌کند. شکل ۶ نمودار تغییرات نسبی فرکانس را در حضور و شکسانی نسبت به حالت ($\lambda=1, g=0$) بر حسب L/Λ_0 ($\lambda=1, g \neq 0$) می‌نماید. با مقایسه شکل ۶ با شکل ۲ (سمت راست) می‌توان گفت در حلقة‌های طویل به ازای $L/\Lambda_0 > 3,5$ برای حلقة همدما و در حضور گرانش، تغییرات نسبی فرکانس تقریباً زیر ۵ درصد است. ولی در حلقة‌های کوتاه تغییرات نسبی فرکانس‌ها در حضور و شکسانی برای وجود بالاتر، تا نزدیک ۳۰ درصد هم کاهش می‌یابد. این تغییرات در وجود نوسانی فرد



شکل ۸. (رنگی در نسخه الکترونیکی) نمودار زمان میرایی بر حسب L / Λ_0 در یک حلقه همدما در حضور و شکسانی (راست)، خطوط توپر و گستته به ترتیب نشان دهنده وجود نوسانی زوج و فرد است. شکل سمت چپ از برش شکل سمت راست در محدوده ۰ تا ۵۰ دقیقه حاصل شده است.

به صورت 2π ضرب در انرژی ذخیره شده در نوسانگر تقسیم بر افت انرژی در یک تناوب نوسانگر تعریف می‌شود و مقدار آن برابر است با:

$$Q = \frac{\omega_R}{2\omega_I}, \quad (27)$$

در اینجا ω_R و ω_I به ترتیب قسمت حقیقی و موهومی فرکانس نوسان است. به طور کلی اگر $Q \leq 2$ باشد میرایی را اصطلاحاً میرایی قوی و به ازای $Q > 4$ میرایی را ضعیف می‌گویند. مشاهدات حاصل از ماهواره‌های خورشیدی نشان می‌دهد حلقه‌های تاج به خصوصیات خاصی واقع شده در ناحیه فعال دارای میرایی قوی می‌باشند.

نرخ افت انرژی و در واقع میزان تأثیر این عوامل در میرایی فرکانس نوسانات، به راحتی با بررسی نمودارهای مربوطه از جمله نمودار ضریب کیفیت و زمان میرایی بر حسب طول حلقه قابل درک است.

شکل ۸ نمودار زمان میرایی بر حسب L / Λ_0 را در شرایط هم‌دما در حضور و شکسانی نشان می‌دهد. مطابق شکل دیده می‌شود با افزایش طول زمان میرایی افزایش می‌یابد به طوری که این افزایش در مدهای پایه محسوس‌تر است. حداقل زمان میرایی حدود ۵۰ دقیقه در مدد چهارم و حداکثر حدود یک ساعت و نیم در مدد پایه اتفاق می‌افتد.

مطابق شکل ۸ محدوده زمان میرایی در لوله‌های کوتاه زیر

محسوسی در این نسبت نمی‌دهد. در مقایسه با شکل ۲ (سمت چپ) می‌توان دریافت که به ازای طول‌های کوچک‌تر و در مدهای نوسانی بالاتر میزان انحراف از یک بیشتر بوده، تغییرات ابتدا روند افزایشی و در طول‌های بلندتری نسبت به حالاتی که فقط گرانش در معادلات وارد شده، روند کاهشی پیدا می‌کند. در نتیجه می‌توان گفت تأثیری که و شکسانی در تغییرات فرکانس ایجاد می‌کند این است که تا یک طول مشخص فرکانس را نسبت به فرکانس پایه افزایش و سپس کاهش می‌دهد و این تغییرات در طول‌های کمتر تأثیر بیشتری خواهد داشت.

۴. میرایی و ضریب کیفیت حلقه‌های نوسانی در حضور و شکسانی

ضرایب معادله (۱۳) در حضور و شکسانی اعدادی مختلط هستند. بنابراین فرکانس نوسانی نیز عددی مختلط و به صورت $\omega = \omega_R + i\omega_I$ خواهد بود. قسمت موهومی فرکانس نشان دهنده میرایی دامنه نوسات بر حسب زمان می‌باشد. زمان میرایی یعنی زمان لازم برای اینکه دامنه نوسانات به $\frac{1}{e}$ مقدار خود افت کند برابر است با $\tau_d = \frac{1}{\omega_I}$.

نرخ افت انرژی در یک نوسانگر همساز میرا با عامل Q موسوم به ضریب کیفیت نوسانگر مشخص می‌شود. این ضریب

جدول ۱. دوره نوسانات (برحسب دقیقه) دو مد پایه زوج و فرد به ازای طول‌های بی بعد شده مختلف در شرایط هم‌دما و غیر‌هدم.

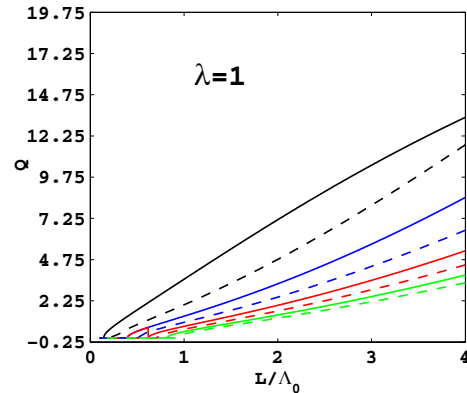
	$\eta = 0, g = 0, \lambda = 1$	$\eta = 0, g \neq 0, \lambda = 1$	$\eta = 0, g \neq 0, \lambda = 2$	$\eta \neq 0, g \neq 0, \lambda = 1$	$\eta \neq 0, g \neq 0, \lambda = 2$					
L / Λ_0	P_{le}	P_{lo}	P_{le}	P_{lo}	P_{le}	P_{lo}	P_{le}	P_{lo}	P_{le}	P_{lo}
۰,۲۵	۲,۸۸	۱,۴۴	۰,۹۵	۲,۹۵	۶,۱۷	۳,۲۴	۷,۲۳	-	۶,۱۵	۳,۳۹
۰,۵	۷۷,۵	۲,۸۸	۱۱,۹۶	۰,۹۱	۱۲,۳۰	۶,۴۵	۱۲,۴۵	۶,۹۲	۱۲,۲۷	۶,۴۷
۰,۷۵	۸,۶۵	۴,۳۲	۱۸	۸,۸۷	۱۸,۳۳	۹,۶۲	۱۸,۳۰	۹,۳۸	۱۸,۳۱	۹,۶۱
۱	۱۱,۵۴	۵,۷۷	۲۴,۰۶	۱۱,۸۱	۲۴,۲۵	۱۲,۷۴	۲۴,۲۷	۱۲,۱۳	۲۴,۲۳	۱۲,۷۱
۱,۲۵	۱۴,۴۲	۷,۲۱	۳۰,۰۹	۱۴,۷۴	۳۰,۰۱	۱۵,۷۸	۳۰,۲۵	۱۴,۹۵	۲۹,۹۹	۱۵,۷۵
۱,۵	۱۷,۳۱	۸,۶۵	۳۶,۰۶	۱۷,۶۴	۳۵,۶۱	۱۸,۷۶	۳۶,۱۸	۱۷,۷۸	۳۵,۰۷	۱۸,۷۲
۱,۷۵	۲۰,۱۹	۱۰,۰۹	۴۱,۹۶	۲۰,۵۰	۴۱	۲۱,۶۵	۴۲,۰۷	۲۰,۶۱	۴۰,۹۷	۲۱,۶۱
۲	۲۳,۰۸	۱۱,۵۴	۴۷,۷۷	۲۳,۳۴	۴۶,۲۰	۲۴,۴۶	۴۷,۸۸	۲۳,۴۱	۴۶,۱۸	۲۴,۴۲

می‌دهد میرایی نوسانات در تاج خورشید قوی هستند پس و شکسانی به تنها می‌تواند میرایی نوسانات حلقه‌های کوتاه تاج را به درستی توجیه کند [۱۴].

۵. نتایج

در این مقاله نوسانات آرام حلقه‌های غیرهمگن تاج خورشید مورد بررسی قرار گرفت. خلاصه نتایج به دست آمده در جدول ۱ آورده شده است. نتایج حاصل نشان می‌دهد که:

- در حضور لایه‌بندی گرانشی، نوسانات حلقه تاج به ازای مقادیر فرکانسی بزرگ‌تر از فرکانس قطع اتفاق می‌افتد و فرکانس نوسانات برای حلقه‌های طویل به فرکانس قطع آکوستیکی میل می‌کند.
- تغییر دما تأثیر چندانی در فرکانس نوسانات ندارد.
- و شکسانی به عنوان یک عامل اتلاف، یک فرکانس قطع در نوسانات تاج ایجاد کرده به طوری که به ازای یک طول مشخصی از تاج فرکانس نوسانی ناگهان به صفر می‌رسد.
- در صورت کاهش دما فرکانس قطع به طور محسوس تری کمتر شده و در طول‌های کوچک به مرتب افزایش می‌یابد.
- با بررسی نمودار ضریب کیفیت بر حسب طول نتیجه می‌شود و شکسانی در طول‌های کوچک میرایی قوی ایجاد می‌کند.



شکل ۹. (رنگی در نسخه الکترونیکی) نمودار ضریب کیفیت برحسب L / Λ_0 در دمای ثابت در حضور و شکسانی.

۲۰۰ مگامتر کاملاً با مشاهدات همخوانی دارد.

شکل ۹ نمودار ضریب کیفیت را برحسب L / Λ_0 در حضور و شکسانی نشان می‌دهد. همان طوری که از شکل دیده می‌شود با افزایش طول حلقه‌ها ضریب کیفیت Q افزایش می‌یابد. می‌توان گفت و شکسانی برای L / Λ_0 بزرگ‌تر میرایی ضعیف و برای مقادیر کوچک‌تر، میرایی قوی روی دستگاه نوسانی ایجاد می‌کند. با مقایسه دو نمودار می‌توان دریافت که با تغییر دما (کاهش دما از رأس به پایه) افزایش در ضریب کیفیت (در طول‌های کوچک‌تری نسبت به حالت هم‌دما) بیشتر به چشم می‌خورد و در نتیجه میرایی در نوسان نسبت به حالت هم‌دما آرام‌تر اتفاق می‌افتد. مشاهدات مدل‌های نظری نشان

می‌دهد. تأثیر حضور و عدم حضور و شکسانی در دوره نوسانات مشخص شده است. با توجه به داده‌های جدول می‌توان نتیجه گرفت و شکسانی به عنوان یک عامل میرایی فرکانس نوسانات را کاهش و دوره نوسانات را افزایش می‌دهد.

- از آنجایی که مشاهدات، میرایی قوی نوسانات تاج را تأیید می‌کند، می‌توان گفت و شکسانی به تنها یی قادر به توجیه میرایی نوسانات حلقه‌های کوتاه تاج است.

جدول ۱ دوره نوسانات دو مد پایه زوج و فرد را به ازای طول‌های (بی بعد شده به ارتفاع مقیاس فشار) مختلف نشان

مراجع

10. A Abedini, H Safari, and S Nasiri, *Sol. Phys.* **280** (2012) 137.
11. B Kliem, I E Dammasch, and W Curdt, K Wilhelm, *Astrophys. J.* **568** (2002) 61.
12. T J Wang, S K Solanki, W Curdt, D E Innes, and I E Dammasch, *European Space Agency Special Publication* **508** (2002) 465.
13. D Banerjee, R Erdélyi, R Oliver, and E O'Shea, *Sol. Phys.* **246** (2007) 3.
14. T J Wang, S K Solanki, D E Innes, W Curdt, and E Marsch, *Astron. Astrophys.* **402** (2003) 17.
15. M JAschwanden, “*Physics of The Solar Corona*”, Springer (2004).
16. L Di G Sigalotti, C A Mendoza-Briceño, M. Luna-Cardozo, *Sol. Phys.* **246** (2007) 187.
1. I De Moortel, J Ireland, and R W Walsh, *Astron. Astrophys.* **355** (2000) 23.
2. P Maltby, NBrynilsen, OKjeldseth-Moe and K Wilhelm, *Astron. Astrophys.* **373** (2001) 1.
3. T J Wang, S K Solanki, and D E Innes, W Curdt, *Astron. Astrophys.* **435** (2005) 753.
4. L Ofman and T Wang, *Astrophys. J.* **580** (2002) 85.
5. I De Moortel, A W Hood, J Ireland, and R W Walsh, *European Space Agency Special Publication* **506** (2002) 509.
6. B Roberts, *Royal Astronomical Society A* **364** (2006) 447.
7. V S Pandey and B N Dwivedi, *Sol. Phys.* **236** (2006) 127.
8. K Karami, and K Bahari, *Solar Phys.* **263** (2010) 87.
9. K Karami and A Asvar, *Mon. Not. R. Astron. Soc.* **381** (2007) 97.